

短径間吊橋の最適設計とスティの効果について

室蘭工業大学 正員 杉本博之

1. 考え方

吊橋の設計は、多くの要素から成っており、その厳密な最適設計は非常に難しい問題である。しかし、吊橋は一般にその構造の規模が大きいだけに、最適設計法の応用は効果のあると思われる。

筆者は、すでにSUMTによる有限変形を考慮したトラス構造物の最適設計⁽¹⁾、吊橋の最適設計に関する基礎的研究⁽²⁾を若干の計算例と共に発表している。本論文は、さらに、モデル化した短径間吊橋を例にとりタワースティの位置を適当に変化させて、最適性、タワースティの効果、斜張橋との関連性等の特性を考察したものである。

許容応力度等細部の規定は、本州四国連絡橋上部構造設計基準(案)(昭和48年9月)、道路橋示方書(昭和47年)に従う。

2. 有限変形法

吊橋では、死荷重はケーブルおよびハンガーで支持されると考える。初期応力を考慮した剛性マトリックスが必要である。右図によると、初期応力 F_{ij}^0 を受けた時に、付加節点力 X_i^*, Y_i^* が作用した場合、変形後の状態で平衡および適合条件を満足する部材剛性マトリックスは次のようになる。

$$P_{ij} = \left\{ \frac{EA_{ij}}{I_{ij}^0} A_{ij}^* B_{ij} + \frac{F_{ij}^0}{I_{ij}^0} A_{ij}^* B_{ij} + \frac{F_{ij}^0}{I_{ij}^0} G \right\} X_{ij} \quad (1)$$

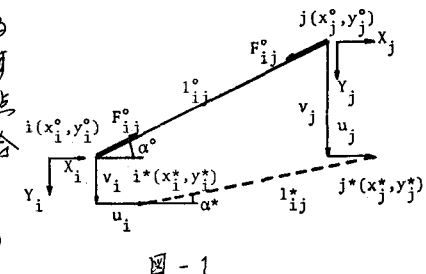


図-1

$$\text{ここで}, E; ヤング率, A; 部材断面積, P_{ij} = (X_i \ Y_i \ X_j \ Y_j)^T, \quad X_{ij} = (u_i \ v_i \ u_j \ v_j)^T, \\ A^0 = (\cos\alpha^\circ \ -\sin\alpha^\circ \ -\cos\alpha^\circ \ \sin\alpha^\circ)^T, \quad A^* = (-\cos\alpha^\circ \ \sin\alpha^\circ \ \cos\alpha^\circ \ -\sin\alpha^\circ)^T, \quad B = (-\cos\tilde{\alpha} \ \sin\tilde{\alpha} \ \cos\tilde{\alpha} \ -\sin\tilde{\alpha}),$$

$$G = \begin{bmatrix} 1 & 0 & -1 & 0 \\ 0 & 1 & 0 & -1 \\ -1 & 0 & 1 & 0 \\ 0 & -1 & 0 & 1 \end{bmatrix}, \quad \sin\tilde{\alpha} = \frac{y_j - y_i + (-v_j + v_i)/2}{(I_{ij}^0 + I_{ij}^*)/2}, \quad \cos\tilde{\alpha} = \frac{x_j - x_i + (u_j - u_i)/2}{(I_{ij}^0 + I_{ij}^*)/2} \quad (2)$$

構造物全体の剛性マトリックスは、境界条件を考慮して、各部材ごとに式(1)を重ね合わせることにより得ることができる。有限変形を考慮する場合、この解法は单純繰り返し計算法を用いて。式(2)において、変位の項を0とすると簡少変形理論となる。

3. 設計条件

吊橋は、図-2.a, bの支間180mおよび300mの構造を対象とし、タワースティは、タワーと結ばれる補助トラス上弦杆の格点の位置によりI, II, ..., Vとし、構造解析上の仮定として、死荷重はすべてケーブルによって支持され、その8割はハンガーにより伝達され、ハンガーに付いた初期応力

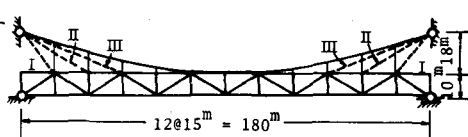


図-2.a タイプA

member	σ_a (kg/cm ²)	E (kg/cm ²)
stay,cable	5600	2.0×10^6
hanger	5600	1.4×10^6
truss	SMS8	2.1×10^6

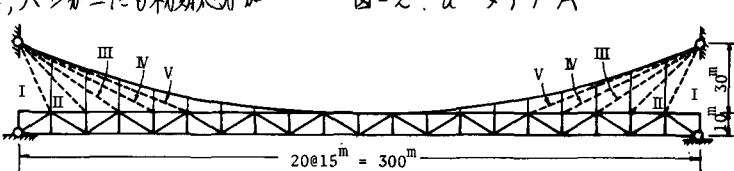


図-2.b タイプB

表-1

存在するとする。断面は、タワーステイ、ケーブル、ハンガー、上弦材、腹材、下弦材それぞれ等断面とし、あるいは5（タワーステイ無の場合）設計変数を考慮している。各部材のヤング率、許容応力度を表-1に示す。補剛トラスの各部材は正方形断面とする。活荷重は、補剛トラスの上弦材の端点に集中荷重（タイプAで100t, タイプBで150t）として作用し、5連荷重として移動させて。

4. 最適設計法

4-1 目的関数

吊橋の最適設計における目的関数は、コストまで考える非常に複雑になる。本論文では、式(3)で表わされる総体積を目的関数とし。

$$V = \sum_{i=1}^n t_i A_i \quad (3)$$

一般に、ケーブルと補剛トラスでは、そのコストが大きく違うことの予想されるが、実際には、単位重量当たりのコストの比は1.1前後であるので式(3)は妥当であると思われる。

4-2 最適設計法

本論文で用いた最適設計法は、部材断面積と変位の両方を同時に収束させる繰り返し全応力設計法、および、全応力設計の結果の最適性の検討を行ない、必要な場合は設計変数を修正することの方法⁽²⁾である。流れ図を図-3に示す。

5. 計算結果および考察

数値計算の結果は、タイプA, Bそれぞれにおいて、有限要素の影響を考慮し、死荷重+半振でタワーステイの位置のIである吊橋の全応力設計の結果を基準値とし、他の値はその基準値に対する比で表わしている。タイプA, Bの基準値を表-2に示す。

5-1 SUMTによる結果との比較

- i) タイプA-II, 限界変形, 死荷重2t/m; この問題は、前述の最適性の検討の結果、全応力設計の最適化、1次問題である。全応力設計および同じ問題をSUMTで解いた結果を表-3に示す。両者はほとんど一致している。
- ii) タイプA-II, 限界変形, 死荷重1t/m; タイプA-I～A-III, B-I～B-Vの問題の内、このタイプA-IIだけ、死荷重の小さな範囲で、タワーステイとケーブルの両部材が、応力的に余裕のある断面の方が目的関数を減少（得ること）を示す。全応力設計の結果、およびタワーステイのみ・ケーブルのみを修正した結果を表-4に示す。総体積はケーブルの断面を修正しない方が小さい。同じ問題をSUMTにより解いた結果を左欄に示す。それは、ケーブルのみ応力的に余裕のある断面であり、当然、最も薄い。全応力設計の結果に、ケーブルのみ修正を加えた結果と一致している。

以上より、4.で説明した全応力設計の結果を利用す最適設計法は、有用であると思われる。計算時間は、SUMTよりも少なくて済む。

member	SUMT	fully
stay	76.17	77.53
cable	148.11	147.37
hunger	8.70	8.43
u.chord	366.75	369.88
w.member	405.82	400.98
l.chord	249.59	253.20
V	28,465	28,413

表-3 A-II, $A = 2 \text{ t}/\text{m}$

member	SUMT	fully	stay	cable
stay	81.42	92.50	152.50*	79.59
cable	139.94	79.03	70.04	139.03**
hunger	7.90	4.69	4.10	6.16
u.chord	363.63	369.00	326.90	364.87
w.member	402.29	426.10	437.48	402.21
l.chord	252.07	279.69	269.51	251.13
V	28,212	28,566	28,270	28,176

表-4 A-II, $f = 1 \text{ t}/\text{m}$

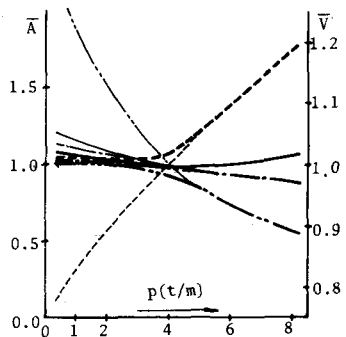


図-3. a タイプA-I

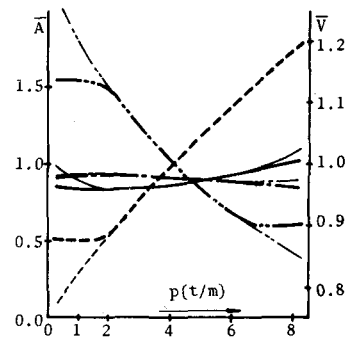


図-3. b タイプA-II

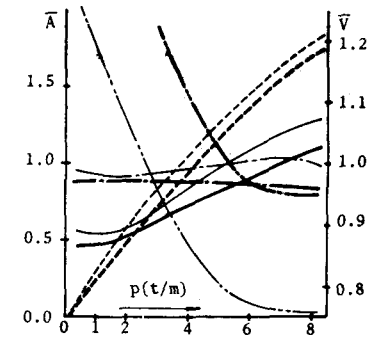


図-3. c タイプA-III

—；総体積, - - - ;ケーブル断面積, ——;補剛トラス上弦部断面積, - - - ;タワーステイ断面積

5-2 各設計変数、その最適性と死荷重の関係

タイプA, B共に同じ傾向を示すので、タイプAの有限変形の影響を考慮した場合の結果を図-3に示す。図中、細線は全応力設計、太線は最適化されたものである。タイプA-Iでは、死荷重 $p = 5 \text{ t/m}$ を境に大きな範囲で全応力設計が最適、小さな範囲でケーブルの応力的に余裕のある断面の方が最適となる。また、死荷重 $p = 5 \text{ t/m}$ で最小の総体積を与える。タイプA-IIでは、死荷重 $p = 2 \text{ t/m}$, 6.5 t/m を境に、 2 t/m より大きい範囲ではタワーステイ、 2 t/m より小さい範囲ではケーブルの応力的に余裕のある断面となり、その間では全応力設計が最適となる。最小の総体積は、死荷重 $p = 2 \text{ t/m}$ で与えられる。タイプA-IIIでは前述のタイプIとは異なり、死荷重の全範囲でタワーステイの応力的に余裕のある断面となり、また、総体積に極小値を持たない。

このように、タワーステイを有する吊橋では、タワーステイの位置、死荷重の大きさによりその最適性は複雑に変化する。

5-3 総体積と死荷重の関係

5-2と一部重複するが、総体積と死荷重の関係を図-4に示す。図中、点線は全応力設計の結果、実線は最適化されたものである。また、○はタワーステイ無しの場合である。死荷重の減少に従い、最適化の結果は大きくなる。また、前述のように、タイプA-III, B-V以外では、死荷重に対して極小値を持ち、その極小値を与える死荷重は、全応力設計の最適となり下限値（それより小さな死荷重では、ケーブルの応力的に余裕のある断面となる。）である。これは、死荷重をも設計変数に含むと、全応力設計が最適となることを示している。

5-4 タワーステイの位置の効果

図-5に、タワーステイの位置に対する総体積の変化を、各死荷重ごとにまとめて示す。図中、●はタイプA, ○はタイプBを示す。また点線は全応力設計、実線は最適化したものである。すべて有限変形の影響を考慮

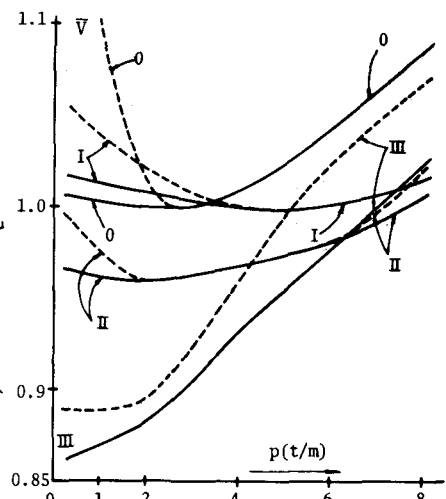


図-4. a 総体積と死荷重(タイプA)

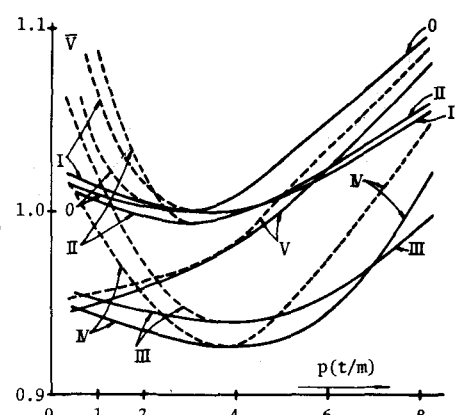


図-4. b 総体積と死荷重(タイプB)

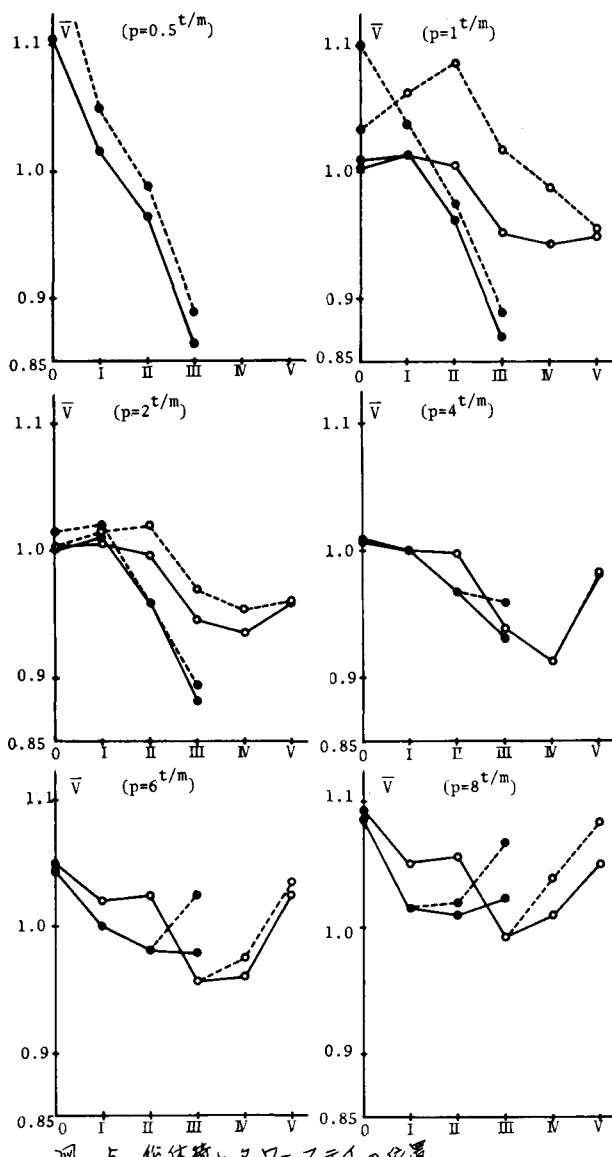


図-5 総体積とタワーステイの位置

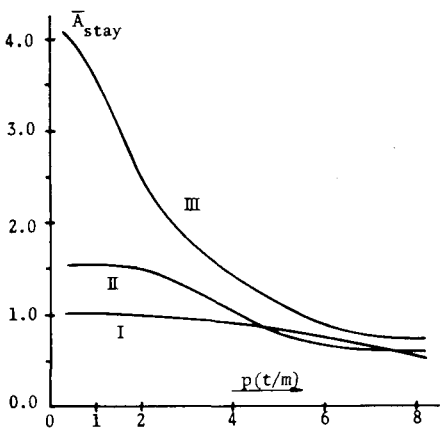


図-6.c タワーステイ断面積(A)

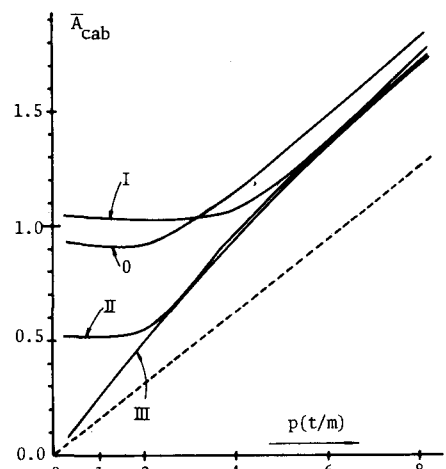


図-6.a ケーブル断面積(A)

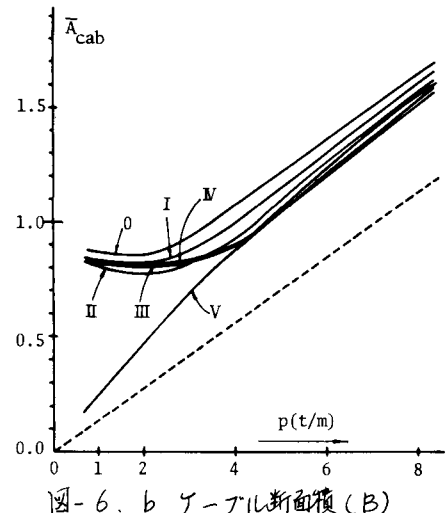


図-6.b ケーブル断面積(B)

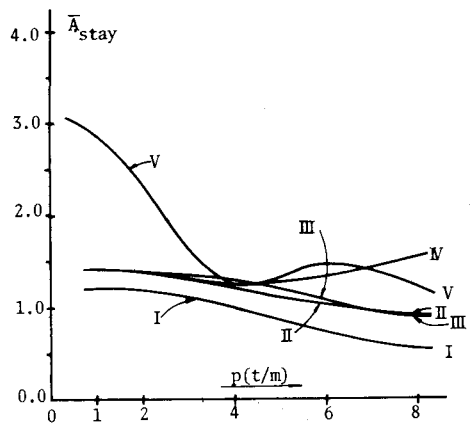


図-6.d タワーステイ断面積(B)

しに場合である。

タイプAでは、死荷重の不 \pm 1/mまでは、タワーステイの支間中央部の方に位置した方が良いことを示している。6t/mではⅢあるいはⅡ、8t/mではⅠあるいはⅣに取り付けの方が良いことを示している。タイプBでも同様に、1t/mではⅣあるいはⅤ、2t/m、4t/mではⅣ、6t/mではⅢあるいはⅣ、8t/mではⅢとなる。このように、一般に死荷重のケーブル範囲では支間中央部の方に、大きい範囲では支点の方にタワーステイを取り付けの方が效果があることわかる。また、タワーステイを設けたことにより、ほとんどのケースで総体積は減少しているが、死荷重が1t/m、あるいは2t/mのOとIの関係のように、タワーステイの無い場合より増加することがある。

5-5 ケーブルとタワーステイ断面積の相関関係

死荷重に対応する各ケーブル、タワーステイの断面積を図-6.a, bに示した。図-6.a, bにおける点線は、死荷重による初期応力に対応する断面積である。

まず、タイプA-O～A-II, B-O～B-IVに注目する。ケーブル断面積は、前述の最大の総体積を有する死荷重を境に、大きい範囲では点線にほぼ平行となり、小さい範囲では応力的に余裕のある断面となり、横軸に平行となる。これは、ケーブル部材の荷荷重分担能力が、死荷重の大小に関係なく一定であることを示していると思われる。タワーステイの断面積は、ケーブルの断面積と逆の傾向を示しているが、基準値のケーブルと比べて非常に小さく(元割弱)ので、実際の変化は少ない。

次に、タイプA-III, B-Vでは、上のタイプとは性格が異なる。まず、ケーブル断面積は、死荷重の減少に従い点線に漸近して0に収束している。一方、タワーステイ断面積は、ケーブル断面積の減少に伴い急速に増加する。死荷重の小さな範囲では、タワーステイの荷荷重分担能力が増加し、ケーブルはほとんどそれを持続することを示している。つまり、タワーステイの支間中央部に位置する場合は、荷荷重だけを支持する構造としては、吊橋よりも斜張橋的構造の方が適していると思われる。

5-6 有限変形を考慮することの影響

図-7は、微少変形理論、有限変形理論どちらによる最適設計の結果の総体積を示したものである。実線は有限変形理論、一点鎖線は微少変形理論である。一般に、スパンの長さ程、等スパンであれば死荷重の小さい(ケーブル張力も小さい)程、変形の影響が大きくなることが予想される。図より、死荷重の減少に従い有限変形理論による結果と微少変形理論による結果との差が拡大している。しかし、例えばタイプA-IとB-Iを比較するとスパン長による影響はないといよい。タイプAとBで基準値(表-1)に大きな差はないが、この結果は斑目である。

また、タワーステイの最遠位置であるタイプA-III, B-Vは他のタイプとは異なり、総体積の死荷重に対して極小値を持たない、また、変形の影響を考慮した結果はほとんど現われない。

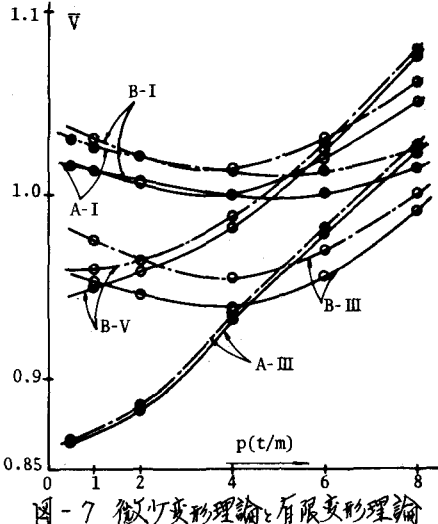


図-7 微少変形理論と有限変形理論

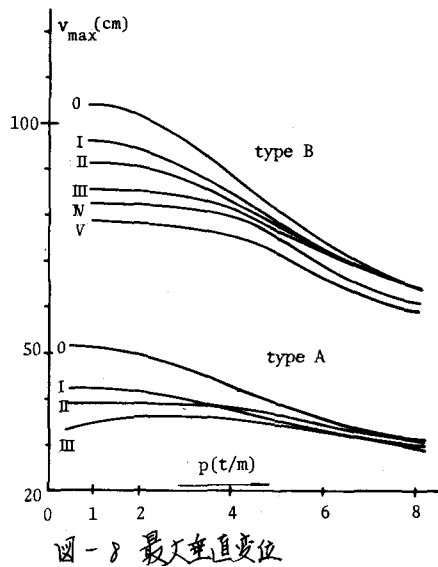


図-8 最大垂下変位

5-7 最大変位

有限変形を考慮し、最適化された後の最大変位（補剛トラス上弦材の支間中央格点）と死荷重の関係を図-8にした。

死荷重の小さな範囲では、それぞれのタワーステイの位置に応じて一定値に収束している。また、大きい範囲では、タワーステイの位置に関係なく一定値に収束している。

また、タワーステイの断面積の増加が、最も効果的（単位体積当たりの最大変位の変化量が最も大きい）に、最大変位を減少させることわかる。

6. 結論

スパンが $180m$ 、および $300m$ のモデル化された短絶頂吊橋を例にとり、タワーステイの位置を適当に変化させて、種々の最適設計的観点より見に特性を説明して、本論文より得られた結論を箇条書きにすると次のようになる。

(1) 本論文で説明した有限変形を考慮した最適設計法、つまり、部材断面積と節点変位を同時に収束させる繰り返し全応力設計を行はい、得られた設計より、各部材の断面積を強制的に増加し、他の部材は全応力設計を行はい、その時の目的変数の増減より最適性の検討を行はい、必要であれば部材断面を修正すると、この方法は、特に本論文で対象として吊橋のように、構造の規模が非常に大きくて、SLSMT 等の非線形計算法の効果的な適用困難な構造物には有効であると思われる。

(2) 最適性の検討の結果、タワーステイが支間中央の方に位置する場合は、死荷重の大きさに關係なく、タワーステイの応力的に余裕のある断面となる。その他の場合は、死荷重の大きい範囲でタワーステイ、小さい範囲でケーブルが、それそれ応力的に余裕のある断面となり、その中間では(准)応力設計の最適となる。

(3) 死荷重の大きさを設計変数に含め、それに制限を無く場合、ケーブルや応力的に余裕を持ち始める死荷重が最適解であり、全応力設計の最適となる。これは、床版および床組の設計に利用できる。

(4) 本論文で取扱ったスパン長では、一般的にタワーステイを設置することにより、総体積は減少する。その位置は、死荷重の小さな範囲では支間中央の方に、大きい範囲では反点の方に設置した方が効果的である。

(5) タワーステイ、スパン A-III, B-V のように、支間中央の方にある場合で、死荷重に比べて大きな荷重が載荷される場合は、吊橋よりも斜張橋的な構造の方が適している。

(6) スパン A-III, B-V 以外では、有限変形の影響を考慮することの結果は比較的大きく、死荷重が減少するほど、微少変形理論による設計との差は大きくなる。また、スパンの大きさによってその効果はほとんど見られない。

(7) 変位を防止する場合は、タワーステイの断面を修正するのが効果的である。

7. 終わり

今後、側経間の影響、タワーステイの初期張力の影響、スパンのより長大化する場合の有限変形の影響、耐風耐震等の荷重条件との関連性などを中心に、ステイの効果、斜張橋との関連性等を検討する予定である。

本論文作成に当り、本州四国連絡橋公司 吉田 修氏に資料の提供を受け、また、笠原工業大学 桃宮 兼一 氏に圆面作成の協力を得たことを付記し、衷い感謝の意を表す。

本論文の計算は、北海道大学大型計算機センターの FACOM Z30-75 を使用した。

参考文献

- (1) 村本博之；有限変形を考慮したトラス構造物の最適設計、工学会北海道支部論文報告集、第31号
1975, 2.
- (2) 村本博之；吊橋の最適設計に関する基礎的研究、工学会第30回年次学術講演会講演概要集、
1975, 10.